

Foto-Sayı Yöntemi ile Lazer Işınımının İstatistiksel Özelliklerinin İncelenmesi

Rafig ABDULLAYEV, Gülçin BİLGİCİ CENGİZ*

Kafkas Üniversitesi, Fen Edebiyat Fakültesi, Fizik Bölümü, KARS

Yayın Kodu (Article Code): 08-13A

Özet

Bu çalışmada belirli zaman aralıklarında ışığa duyarlı yüzeyden koparılan foto elektronların sayılmasına dayanan foto-sayı yöntemi kullanılmıştır. Gelen ışığın enerji ve şiddetinin dağılımları ile ölçülebilen foto-sayı dağılımları arasındaki korelasyon gösterilmiştir. Bu çalışmada, lazer ışınımının istatistiksel özelliklerinin belirlenmesi için kullanılan deneysel düzeneğin yapısı verilerek ve bu düzenekten elde edilen deneysel verilerle teorik olarak hesaplanan foto-sayı dağılımlarının uyumlu olduğu saptanmıştır.

Anahtar Kelimeler: Lazer ışınımı, istatistiksel karakteristikler, foto-sayı dağılımı.

The Investigation of Statistical Characteristics of Laser Light Using Photo-Count Method.

Abstract

In this study, the photo-count method, which based on counting of released photoelectron from photosensitive surface at certain time duration, is used. The correlation between distribution of energy and intensity of incident light and distribution of measurable photo-count is exposed. The experimental set-up which is given here is used for determining the statistical characteristics of laser light and the data obtained from this experimental set-up are in good agreement with theoretically calculated distribution of photo-count.

Key words: Laser light, statistical characteristics, photo-count distribution.

İletişim (Correspondence): gbilgici@excite.com

GİRİŞ

Fotonların ışması, kesikli rastgele bir süreçtir ve bu nedenle ışmanın yoğunluğunda rastgele değişimler (flüktüasyonlar) meydana gelir. Bunların incelenmesine yönelik çalışmalar modern kuantum optik alanında önemli yer tutmaktadır. Bu çalışmalardan biri de çeşitli lazerlerdeki rastgele değişimlerin incelenmesine dayanan ışmanın genlik ve fazındaki rastgele değişimlerin azaltılmasına yönelik yöntemlerin bulunmasıdır. Bu amaçla kullanılan çok etkin yöntemlerden biri, ışığa duyarlı fotoalıcıya gelen fotonların istatistiği ile bunların oluşturduğu foto-emisyon olayı arasındaki ilişkiye dayanan foto-sayı yöntemidir. Bu yöntemle, fotodedektör üzerine küçük zaman aralıklarında ışın düşürülür ve ışığa duyarlı yüzeyden koparılan fotoelektronlar sayılır. Sayım aynı T zaman aralıklarında tekrarlanır ve bu sürede oluşan n tane fotoelektronun, $P(n, T)$ olasılığı bulunur. Fotoelektronların dağılımı ile fotonların dağılımı arasındaki bağıntı

$$P(n, T) = \int_0^{\infty} \frac{(\alpha W)^n}{n!} e^{-\alpha W} P(W) dW \quad (1)$$

ifadesiyle verilir[1]. Burada, α fotokatodun kuantum etkinliği, $I(t)$ optik şiddetin ani değeri ve $[t_i, t_i+T]$ arasındaki

$$W \text{ enerjisi, } W(t_i, T) = \int_{t_i}^{t_i+T} I(t) dt \text{ olmak}$$

üzere, $P(W)$ ışık alanının dağılım fonksiyonudur.

Eğer sayım zamanı aralığı (T) , koherentlik zamanı τ_K 'dan çok küçük olursa ($T \ll \tau_K$), ışık şiddetinin ölçüm

süresinde sabit olacağını kabul ederek $W=IT$ yazabiliriz. Bu durumda (1)'e özdeş olan

$$P(n, T) = \int_0^{\infty} \frac{(\alpha IT)^n}{n!} e^{-\alpha IT} P(I) dI \quad (2)$$

foto-sayı dağılımını elde ederiz.

Eşitlik (1) veya (2) ifadesi $P(n, T)$ olasılığı optik alanın istatistiksel özellikleri hakkında bilgi verir. $P(n, T)$ dağılımının en önemli genel özelliği, varyansın artmasına neden olan sayımların gruplaşmasıdır. Fiziksel açıdan, doğal olarak $P(W)$ dağılımının bütün momentumlara sahip olduğunu varsayarsak, foto-sayı dağılımlarının ortalama değeri eşitlik (1)'i kullanarak

$$\begin{aligned} \langle n \rangle &= \sum_{n=0}^{\infty} n P(n) = \int_0^{\infty} \sum_0^{\infty} \frac{n(\alpha W)^n}{n!} e^{-\alpha W} P(W) dW \\ &= \int_0^{\infty} \alpha P(W) dW \equiv \alpha \langle W \rangle \end{aligned} \quad (3)$$

elde edilir. Yukarıdaki şartlarda $\langle n \rangle = \alpha T \langle I \rangle$ olarak ifade elde edilir. Işık enerjisinin farklı dereceden momentumları

$$\langle W^n \rangle = \int_0^{\infty} W^n P(W) dW \quad (4)$$

ifadesi ile bulunabilir. Benzer şekilde foto-sayı dağılımındaki sayıların karesinin ortalama değeri

$$\begin{aligned} \langle n^2 \rangle &= \sum n^2 P(n, T) = \int_0^{\infty} \sum_0^{\infty} \frac{n^2 (\alpha W)^n}{n!} e^{-\alpha W} P(W) dW \\ &= \int_0^{\infty} [\alpha^2 W^2 + \alpha W] P(W) dW \\ &= \alpha^2 \langle W^2 \rangle + \alpha \langle W \rangle \end{aligned} \quad (5)$$

olarak elde edilir. Bunları kullanarak foto-sayı dağılımlarının flüktüasyonlarını karakterize eden varyans hesaplanır. Varyans tanımına göre

$$\langle \Delta n^2 \rangle = \langle (\langle n \rangle - n)^2 \rangle = \langle n^2 \rangle - \langle n \rangle^2$$

olduğundan, eşitlik (3) ve (5) ifadeleri birleştirilerek

$$\langle \Delta n^2 \rangle = \alpha \langle W \rangle + \alpha^2 [\langle W^2 \rangle - \langle W \rangle^2] \quad (6)$$

elde edilir. Buradan görüldüğü gibi enerjinin dağılımı

$$P(W) \neq \delta(W - W_0) \quad (7)$$

Dirac'ın δ -fonksiyonu olmadığı bütün durumlarda, dağılımın varyansı $\langle n \rangle = \alpha \langle W \rangle$ dağılımın ortalama değerinden büyüktür. İlgili çeken bir durum olan denge durumdaki foton gazı için varyans hesapladığımızda, ışık şiddeti dağılımının $T \ll \tau_K$ şartında

$$P(I) = I_0^{-1} e^{-I/I_0} \quad (8)$$

üstel olarak değiştiğinden, bu ışık şiddeti momentimleri eşitlik (4)'e benzer şekilde

$$\langle I^n \rangle = I_0^{-1} \int_0^\infty I^n e^{-I/I_0} dI = n! I_0^n \quad (9)$$

olarak bulunur. Eşitlik (3)'den görüldüğü gibi

$$\langle n \rangle = \alpha T \langle I \rangle = \alpha T I_0 \quad (10)$$

olduğundan eşitlik (6) ifadesinden varyansın

$$\begin{aligned} \langle \Delta n^2 \rangle &= \alpha T I_0 + \alpha^2 T^2 [2I_0^2 - I_0^2] \\ &= \langle n \rangle + \langle n \rangle^2 \end{aligned} \quad (11)$$

olduğu görülür, yani $\langle n \rangle$ ortalama değerinden $\langle n \rangle^2$ kadar fazla olduğu açıktır.

Bu durum için $P(n, T)$ foto-sayı dağılımını, $T \ll \tau_K$ şartında (2), (8) ve (10) eşitliklerini kullanarak hesaplayabiliriz.

$$\begin{aligned} P(n, T) &= \int_0^\infty \frac{(\alpha T I)^n}{n!} e^{-\alpha T I} I_0^{-1} e^{-I/I_0} dI \\ &= \frac{(\alpha T I)^n}{I_0 n!} \int_0^\infty I^n \exp \left[-I \left(\alpha T + \frac{1}{I_0} \right) \right] \\ &= \frac{(\alpha T I)^n}{I_0 n!} \left(\alpha T + \frac{1}{I_0} \right)^{-(n+1)} \int_0^\infty y^n e^{-y} dy \\ &= (1 + \alpha T I_0)^{-1} \left(1 + \frac{1}{\alpha T I_0} \right)^{-n} \\ &= \frac{\langle n \rangle^n}{(1 + \langle n \rangle)^{n+1}} \end{aligned} \quad (12)$$

Eşitlik (12) ifadesinin Bose-Einstein dağılımına uygun olduğu görülmektedir[2]. Karşılaştırma için sabit şiddetli tek modlu lazer ışınımını da ele alalım. Bu durumda ışık şiddeti yaklaşık sabit kabul edilebilir, yani şiddetin dağılımı

$$P(I) = \delta(I - I_0) \quad (13)$$

Dirac'ın δ -fonksiyonu şeklindedir. Bu durumda $P(n, T)$ foto sayı dağılımının

$$\begin{aligned} P(n, T) &= \int_0^\infty \frac{(\alpha T I)^n}{n!} e^{-\alpha T I} \delta(I - I_0) dI = \\ &= \frac{(\alpha T I_0)^n}{n!} e^{-\alpha T I_0} \end{aligned} \quad (14)$$

Poisson kanunu ile değiştiği görülür. Şiddetin momentimleri ise eşitlik (8) ifadesinden

$$\langle I^n \rangle = \int_0^{\infty} I^n P(I) dI = \quad (15)$$

$$\int_0^{\infty} I^n \delta(I - I_0) dI = I_0^n$$

olarak hesaplanabilir. Buradan foto-sayı dağılımının ortalama değeri eşitlik (3)'den görüldüğü gibi

$$\langle n \rangle = \alpha T \langle I \rangle = \alpha T I_0 \quad (16)$$

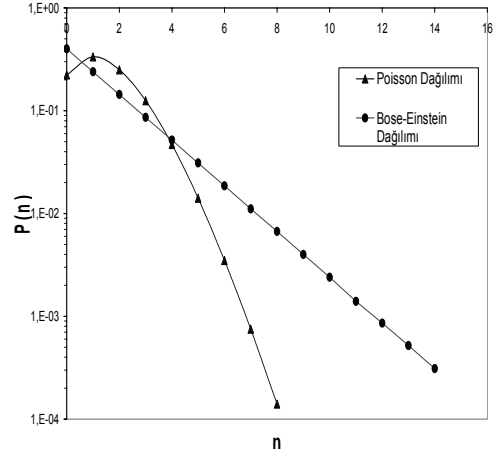
elde edilir. Dağılımın varyansı ise $\langle I^2 \rangle = \langle I \rangle^2 = I_0^2$ olduğundan eşitlik (6) ifadesine göre

$$\langle \Delta n^2 \rangle = \alpha T \langle I \rangle = \alpha T I_0 = \langle n \rangle \quad (17)$$

olur. Yukarıdaki eşitlikten, dağılımın varyansının, ortalama değere eşit olduğu ortaya çıkar. Eşitlik (16)'i dikkate alarak, eşitlik (14)'de verilen dağılımı eşitlik (12)'e benzer olarak

$$P(n, T) = \frac{\langle n \rangle^n}{n!} e^{-\langle n \rangle} \quad (18)$$

şeklinde bulabiliriz. Aynı $\langle n \rangle = 1,5$ ortalama değeri için eşitlik (12) ve (18) olasılıklarının hesaplanmış değerleri şekil 1'de karşılaştırmalı olarak verilmiştir



Şekil 1: Lazer ve ısı kaynaklarının foto-sayı dağılımları.

Şekilde dairesel noktalarla gösterilen eğri, eşitlik (12)'de verilen Bose-Einstein dağılımına uygun olan foto-sayı dağılımının varyansının $\langle \Delta n^2 \rangle = \langle n \rangle + \langle n \rangle^2$ ve üçgen noktalarla gösterilen eğri ise eşitlik (18)'de verilen Poisson dağılımına uygun olan foto-sayı dağılımının varyansının ise

$\langle \Delta n^2 \rangle = \langle n \rangle$ olduğu bulunmuştur. Böylece $P(n, T)$ dağılımı, incelenen ışın demetinde foton durumlarının oluşunu göstermektedir[3,4]. İdeal lazerin ürettiği koherent ışınımın alanı klasik sinüsel dalgaya yakındır. Anlaşılacağı gibi ideal ışık dalgasında bile foton sayılarında rastgele değişimler vardır. Foton gazının denge halinde, varyanstaki $\langle n \rangle^2$ terimi fotonların gruplaşma etkisini göstermektedir. Buradan karmaşık (kaotik) yapılı ışık demetinde foton sayılarında korelasyon bulunduğu ve bunun sonucunda fotonların gruplaşmaya yatkınlığı görülür. İdeal lazer demetinde ise foton sayısı rastgele değişimleri arasında korelasyon gözlenmez ve fotonların gruplaşma etkisi olmaz. Bu sonuç yapılmış deneylerle[5] uyum sağlamaktadır.

Foto-sayı dağılımları $P(n,T)$ ölçülebi-
lindiği durumlarda kaynağın enerji, ışık
şiddeti ve dalga alanının dağılımlarını
bulmak çok daha dikkat çekicidir. Bu
ilişkiyi göstermek için aşağıdaki integrali
ele alalım

$$F(x) = \int_0^{\infty} e^{ixW} P(W) e^{-\alpha W} dW \quad (19)$$

Yukarıdaki integralin Fourier
dönüşümü

$$P(W) = \frac{e^{\alpha W}}{2\pi} \int_{-\infty}^{\infty} F(x) e^{-ixW} dx \quad (20)$$

Eşitlik (19)'daki, üstel $e^{-\alpha W}$
fonksiyonunu seriye ayırıp işlemleri devam
ettirirsek

$$F(x) = \int_0^{\infty} \sum_{n=0}^{\infty} \left(\frac{ixW}{n!} \right)^n P(W) e^{-\alpha W} dW \quad (21)$$

ve

$$F(x) = \sum_{n=0}^{\infty} (ix)^n \int_0^{\infty} \frac{(dW)^n}{n!} P(W) e^{-\alpha W} dW \quad (22)$$

eşitlikleri elde edilir. Eşitlik (19) ve (22)
birleştirildiğinde.

$$F(x) = \sum_{n=0}^{\infty} \left(\frac{ix}{\alpha} \right)^n P(n,T) \quad (23)$$

yukarıdaki (23) ifadesi elde edilir.
Eşitlik (23) deneysel olarak ölçülebil-
 $P(n,T)$ foto-sayı dağılımlarından kaynağın
 W enerjisine bağlı $P(W)$ dağılım
fonksiyonunun hesaplanabileceğini göster-
mektedir. Hesaplamalar yoluyla kaynağın
rastgele değişen I şiddetinin $P(I)$ dağılım
fonksiyonunu da elde edebiliriz.

Yine sayım zaman aralığı (T), kohe-
rentlik zamanı τ_K ' dan küçük değerlerinde
ışık şiddetini sabit kabul edersek ($T \ll \tau_K$)

$$W = IT \quad (24)$$

olarak yazıldığında, $P(W)$ enerji dağılımı
ile $P(I)$ şiddet dağılımı uyumlu olacaktır.
Enerji (W), ışık şiddeti (I) ve bunların
 $P(W)$ ve $P(I)$ dağılım fonksiyonları
türetilmiş nicelikler olduklarından fiziksel
anlama sahip olan $V^{(r)}(t)$ dalga alanıdır ve
bunun istatistiği, hesaplamalarımız için çok
daha önemlidir. Kompleks analitik sinyal
 $V(t)$ kavramını kullanarak alıcı düze-
neklerin ölçtükleri ışığın ortalama şiddeti
 $I(t)$

$$I(t) = V^*(t)V(t) \quad (25)$$

yukarıdaki gibi yazılır[6].

Kararlı haldeki monokromatik ışın
($\Delta\nu \ll \nu_0$) için $V(t)$ sinyalinin genlik fazla-
rının bağımsız olması halinde (25)
ifadesinden

$$P(V^{(r)} \cdot V^{(i)}) = \pi^{-1} P(I) \quad (26)$$

olduğu bilinir.

Buradan $I = V^{(r)2} + V^{(i)2}$ olduğu dikkate
alınarak $P(V^{(r)})$ olasılık yoğunluğu

$$P(V^{(r)}) = \frac{1}{\pi} \int_{V^{(r)}}^{\infty} \frac{P(I) dI}{(I - V^{(r)2})^{1/2}} \quad (27)$$

olduğundan integral alma yöntemiyle
hesaplanır[7]. Ele aldığımız $F(x)$
fonksiyonunun, $P(W)$ dağılımının
karakteristik fonksiyonuna bağlı bir
fonksiyon olduğu da açıkça görülmektedir.
Örnek olarak, sık sık gözlenen ve yukarıda
da ele aldığımız bazı $P(n,T)$ fotosayı
dağılımlarına göre $T \ll \tau_K$ şartında ışığın
 $P(W)$, $P(I)$ ve $P(V^{(r)})$ dağılımlarını
hesaplayalım. Deneysel sık sık
rastlanılan $P(n,T)$ foto-sayı dağılımının
Bose-Einstein istatistiğine uygun değişmesi
halinde

$$P(n, T) = \frac{\langle n \rangle^n}{(\langle n \rangle + 1)^{n+1}} \quad (28)$$

olduğundan eşitlik (28)'i eşitlik (23)'de yerine yazarsak

$$\begin{aligned} F(x) &= \sum_{n=0}^{\infty} \left(\frac{ix}{\alpha} \right)^n \frac{\langle n \rangle^n}{(\langle n \rangle + 1)^{n+1}} \\ &= \frac{1}{\langle n \rangle + 1} \sum \left(\frac{ix \langle n \rangle}{\alpha (\langle n \rangle + 1)} \right)^n \\ &= \frac{1}{\langle n \rangle + 1} \cdot \frac{1}{1 - \frac{ix \langle n \rangle}{\alpha (\langle n \rangle + 1)}} \\ &= \left(\langle n \rangle + 1 - \frac{ix \langle n \rangle}{\alpha} \right)^{-1} \end{aligned} \quad (29)$$

olarak hesaplanır. Bu sonucu eşitlik (20)'de yerine yazdığımızda

$$P(W) = \frac{1}{\langle W \rangle} \exp\left(-\frac{W}{\langle W \rangle}\right) \quad (30)$$

ifadesine ulaşılır.

Yukarıdaki eşitlikte $\langle W \rangle = \frac{\langle n \rangle}{\alpha}$ olduğu açıkça görülür. Aynı şartlarda eşitlik (24)'ü kullanarak,

$$P(I) = \frac{1}{\langle I \rangle} \exp\left(-\frac{I}{\langle I \rangle}\right) \quad (31)$$

olduğunu gösterebiliriz. Burada;

$$\langle I \rangle = \frac{\langle W \rangle}{T} = \frac{\langle n \rangle}{\alpha T} \quad (32)$$

olduğu da açıktır. Eğer ışık lineer kutuplanmışsa, eşitlik (27) ve (31) ifadelerinden ışık alanının dağılımı

$$P(V^{(r)}) = \left(\pi \langle I \rangle^{-1/2} \right) \exp\left(-\frac{V^{(r)2}}{\langle I \rangle}\right) \quad (33)$$

olarak bulunur. Eşitlik (33) ifadesi gösterir ki, $V^{(r)}$ niceliğinin olasılık dağılımının yoğunluğunun orta değeri sıfır ve varyansı $1/2 \langle I \rangle$ olan Gaussyen dağılımıdır.

$P(n, T)$ foto-sayı dağılımının Poisson dağılımına uygun olarak değiştiği durumu ele alalım. Bu durumda foto-sayı dağılımı,

$$P(n, T) = \frac{\langle n \rangle^n}{n!} e^{-\langle n \rangle} \quad (34)$$

şeklinde verilir. Eşitlik (34) ifadesini eşitlik (23)'te yerine yazarsak

$$F(x) = \exp\left[\langle n \rangle \left(\frac{ix}{\alpha} - 1 \right)\right] \quad (35)$$

olduğunu buluruz. Genliği sabitleştirilmiş bir modlu lazer ışınımı için eşitlik (34) ve (23) kullanılarak $P(W)$ dağılım fonksiyonu

$$P(W) = \delta(W - \langle W \rangle) \quad (36)$$

olarak hesaplanır. Burada δ -Dirac fonksiyonudur. Işınım şiddetinin $P(I)$ dağılım fonksiyonu da benzer şekilde

$$P(W) = \delta(I - \langle I \rangle) \quad (37)$$

olur. Eğer ışınım alanı lineer kutuplanmış ise, eşitlik (37) ve (27) ifadelerine göre;

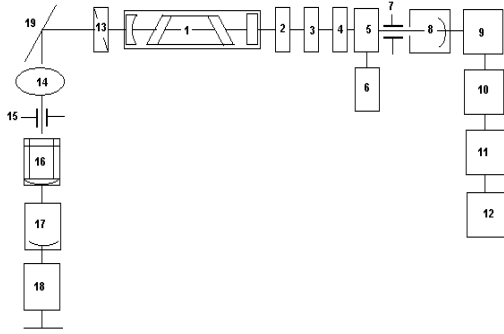
$$P(V^{(r)}) = \begin{cases} \pi^{-1} (\langle I \rangle - V^{(r)2})^{-1/2} |V^{(r)}|^2 \langle \langle I \rangle \rangle \text{ ise,} \\ 0 & |V^{(r)}|^2 \langle \langle I \rangle \rangle \text{ ise,} \end{cases} \quad (38)$$

olduğu bulunur.

Ele aldığımız örneklerde deneysel olarak ölçülebilen $P(n,T)$ foto-sayı dağılımlarına göre optik ışınımın $P(W)$, $P(I)$ ve $P(V^{(r)})$ dağılımlarının nasıl bulunabileceği gösterildi. Yukarıda verilen sonuçların yarı klasik yaklaşımla elde edildiğini ancak, aynı sonuçlara ciddi kuantum teorisi temelinde de ulaşılması mümkündür[8].

MATERYAL VE METOT

Lazer ışınımının foto-sayı dağılımlarının deneysel olarak incelenmesi için kullanılan düzeneğin blok şeması Şekil 2’de verilmiştir[9].



Şekil 2: Lazer ışınımının istatistiksel özelliklerinin belirlenmesi için kullanılan deneysel düzeneğin blok şeması. 1.He-Ne lazer, 2.Girişim filtresi, 3.Attenuator, 4. ve

13. Polarizörler, 5.Elektrooptik modülatör, 6.Fonksiyon üreticisi, 7. ve 15. Silitler, 8.

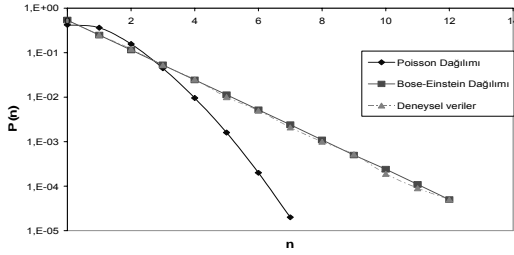
ve 17. Fotoçoğaltıcılar, 9. Düzenleyici, 10. Dönüştürücü (sayı-genlik), 11. Çok kanallı analizör, 12. Bilgisayar, 14. Mercek, 16. İnterferometre, 18. Osiloskop, 19. Ayna

Işık kaynağı olarak He-Ne lazeri kullanılmıştır. Lazerin mod yapısı tarayıcı interferometre ile kontrol edilebilir. Etkin koherentlik süresi $\sim 2 \cdot 10^{-7}$ s düzeyinde olduğundan radyasyonun enerji dağılımı δ -fonksiyon ve foto-sayı dağılımı Poisson

dağılımı olarak kabul edilir. Foto-sayımı dedekte etmek için, uygun spektral duyarlılığı ve ayırt etme hassasiyeti olan fotoçoğaltıcılar seçilmiştir. Fotoçoğaltıcılar saniyede $2 \cdot 10^6$ tane fotoelektrondan daha fazla yüklemeye dayanamadıklarından, seçim süreci $T = 10^{-6}$ saniye olduğunda alıcı küçük sayıda n tane fotoelektron kaydetmeye uygundur. Bu nedenle $n \leq 12$ olduğu deneylerde, T sayım süresinde gelen fotoelektronların n sayısı 12 ‘yi geçmemiştir. Olasılık dağılımlarını ölçmek için τ süresinde kayıt sayıları, pulsların genliğine dönüştürülerek 256 kanallı puls analizörüne verilmiştir. Böylece, genliği ölçüm süresince gelen fotoelektronların n sayısına orantılı olan pulslar çok kanallı analizörün belirli kanallarında toplanırlar. Seçim süresi ve sayısı puls jeneratörü ile belirlenerek, deney süresince sırası ile yaklaşık 10^{-6} s ve $5 \cdot 10^3$ s⁻¹ eşit olarak seçilmiştir. Seçim süresinin kısa olması, deneyin kısa bir sürede (~ 1 dakika) yapılmasına rağmen iyi bir istatistik elde edilmesine olanak sağlar ($\sim 3 \cdot 10^5$ sayı). Deney süresinin kısa olmasından dolayı lazer kaynağından başka, diğer cihazların sabitleştirilmesi için özel tedbirlerin alınmasına ihtiyaç kalmaz.

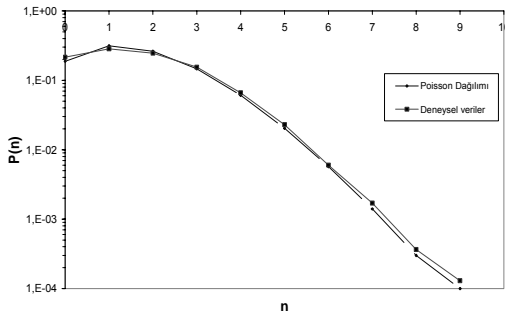
BULGULAR VE TARTIŞMA

Lazer kaynağından ısı kaynağı elde etmek için, lazer ışığı taneciklerinin boyutları $\sim 90 \mu\text{m}$ olan dönen buzlu cam yüzeyine odaklanır. Camın dönme hızını ve taneciklerin boyutlarını değiştirerek bu yöntemle dağılım fonksiyonu eşitlik (31) ile verilen pseudo ısı ışınım kaynağı elde edilebilir[10]. Şekil 3’de bu durum için ölçülmüş $P(n,T)$ foto-sayı dağılımları verilmiştir.



Şekil 3: Pseudo ışık kaynağının foto-sayı dağılımları ($\langle n \rangle = 0,86$).

Karşılaştırma için aynı $\langle n \rangle$ ortalama değeri için teorik olarak hesaplanmış Bose-Einstein dağılımı ve deneysel sonuçların özellikle n 'nin büyük değerleri için uyumlu olduğu Şekil 3'de gösterilmiştir. Bir modlu lazer için elde edilen deneysel olarak foto-sayı dağılımları ve eşitlik (34) yardımıyla aynı $\langle n \rangle$ değeri için hesaplanmış Poisson dağılımı Şekil 4'de verilmiştir.



Şekil 4: Tek modlu lazer ışınımının foto-sayı dağılımı ($\langle n \rangle = 1.67$).

Şekil 4'den de görüldüğü gibi n 'nin küçük değerleri için deneysel ve hesaplanmış sonuçlar genellikle uyumludur ve n 'nin büyük değerlerinde ortaya çıkan farklılıklar ışınımın tam olarak bir modlu olmaması durumundan kaynaklanmasıyla açıklanabilir[11].

SONUÇ

Böylece, yapılan teorik hesaplamalarla deneysel sonuçlar uyum içinde olmasından dolayı foto-sayı yönteminin, optik alanların istatistiksel özelliklerinin incelenmesi için

etkin bir yöntem olduğu açıkça görülmektedir.

Bununla beraber bu yöntemin hem lineer optik kanallarda saçılma (holografî), hem de modlar arası bağıntıların yer aldığı nonlineer (modüle etme, defekte etme) süreçlerde ve ışınımın mod yapısının flüktüasyon özelliklerine etkisinin daha detaylı incelenmesinde başarıyla uygulanabileceği görülmektedir[12]. Foto-sayı yöntemi ışığın modüle edilmesi yöntemi ile birleştirilerek istenilen istatistik özelliklere sahip olabilen optik kaynakların modelleştirilmesinde de kullanılabilir[13]. Bunu deneysel olarak foto-sayı istatistiği $P(n)$ ile verilen lazer ışınımını dönen buzlu camla modüle ederek foto istatistiği Bose-Einstein dağılımı ile verilen pseudo ışık kaynağı oluşturulduğunu gösterdik. Foto-sayı yöntemi aynı zamanda, optik kanallarda ortaya çıkan additif ve multiaktif gürültülerin etkisinin incelenmesinde de etkin bir yöntem olarak uygulanabilir [14].

KAYNAKLAR

- [1] **Mandel L.**, 1963 *Progres in Optics*, ed. E. Wolf, V.2
- [2] **Abdullayev R.A, Cenik M.İ.** 2003 *BDÜ' nün Haberleri*, 3, 143
- [3] **Abdullayev R.A, Deryugin İ.A,** Kurashov V.N., Nastich V.N., 1973 *Prog. Az. St. Uni., ser. Phys.-Mat.* 1, 25
- [4] **Glauber R.J.**, 1964 *Annolen der Phys.* 16, 1, 2124
- [5] **Brown R.H., Twiss R.O.** 1957, *Prog. Roy. Soc. A* 242, 300
- [6] **Gabor D., J.** 1946 *Inst. Elect. Eng.*, 93, 429
- [7] **Wolf E., Mehta C. L.**, 1965 *Phys. Rev. Lett.*, 13, 705
- [8] **Mehta C. L.**, 1970 *Progress in Optics*, ed. E. Wolf, VIII, 38
- [9] **Deryugin I. A., Kurashov V.N, Abdullayev R. A., Nastich V.N., A. Mirzayev T.**, 1972 *Radioteknika i Electronika*, XVII, 8, 1622
- [10] **Abdullayev R. A., Deryugin I. A., Kurashov V.N, Nastich V.N.**, 1974 *Vesnik KGU*, 15, 105
- [11] **Deryugin I. A., Abdullayev R. A., Kurashov V.N, Nastich V.N.**, 1973 *Izv. AN SSSR*, XXXVII, 10, 2115
- [12] **Abdullayev R. A., Şentürk Ş, Özkırım I., Küçükburşa A.**, 2003 *Pow. Eng. Probl.*, 5, 62
- [13] **Abdullayev R. A., Cenik I. M.**, 2001 *BDÜ' nün Haberleri*, 2, 80
- [14] **Abdullayev R. A., Yüksek M.**, 2005 *Fizika XI*, 3, 32